



БИООРГАНИЧЕСКАЯ ХИМИЯ

Том 17 * № 7 * 1991

УДК 547.475.2'751 : 577.164.2 : 542.51'422.25

© 1991 г.

А. М. Королев, Э. И. Лажко, И. В. Ярцева,
И. Л. Плихтияк*, Л. Г. Александрова, Е. В. Розынов**,
М. Н. Пребораженская*

ПРЕВРАЩЕНИЯ АСКОРБИГЕНОВ В КИСЛОЙ СРЕДЕ; СТРОЕНИЕ АСКОРБИГЕНА В

ВНИИ по изысканию новых антибиотиков АМН СССР, Москва:

**Всесоюзный онкологический научный центр АМН СССР, Москва;*

***Институт биоорганической химии им. М. М. Шемякина АН СССР, Москва*

Превращения аскорбигенов при нагревании при $\text{pH} < 7$ происходят по межмолекулярному механизму, включающему в себя освобождение *L*-аскорбиновой кислоты и присоединение (индол-3-ил) метильного остатка к второй молекуле аскорбигена (Ia) с образованием 1'-(индол-3"-ил)метил]аскорбигена (IIa), 2'-(индол-3"-ил)метил]аскорбигена (IIIa) и 2'-(2'-(индол-3"-ил)метилиндол-3"-ил)метил]аскорбигена (IVa). Те же превращения осуществлены для 5'-бромаскорбигена (Ib). Из 1'-метиласкорбигена и 1'-бутиласкорбигена получены 1'-метил-2'-(1"-метилиндол-3"-ил)метил]аскорбиген и 1'-бутил-2'-(1"-бутилиндол-3"-ил)метил]аскорбиген. Показано, что аскорбиген В является смесью соединений (IIa), (IIIa) и (IVa) с преобладанием (IIIa).

В 1936 г. было обнаружено, что в некоторых растениях содержится вещество, которое при нагревании выделяет *L*-аскорбиновую кислоту. Это вещество удалось экстрагировать из капусты органическими растворителями, и ему было дано название «аскорбиген» [1]. Он был синтезирован при конденсации 3-гидроксиметилиндола с *L*-аскорбиновой кислотой, при этом образуется преимущественно аскорбиген A: 2-C-[(индол-3-ил)метил]- α -L-treo-L-глицеро-3-гексулофуранозо-1,4-лактон, идентичный природному, а в качестве минорного компонента аскорбиген B, которому была приписана структура 2-C-[(индол-3-ил)метил]- α -L-treo-D-глицеро-3-гексулофуранозо-1,4-лактона [2].

Ранее были получены аналоги аскорбигена [3—5], изучены его превращения в щелочных средах [5, 6], однако механизм высвобождения *L*-аскорбиновой кислоты из аскорбигенов остался неизвестным, поскольку не было ясно, как трансформируется индольная часть молекулы аскорбигена.

Цель настоящей работы — изучение трансформации аскорбигена и его синтетических аналогов в интервале $\text{pH } 1\text{--}7$.

В ходе настоящего исследования были разработаны условия ВЭЖХ аскорбигенов (подбор носителя, компонентного состава подвижной фазы, температурные параметры). Этот метод не только позволил идентифицировать полученные соединения в различных реакционных системах и контролировать их чистоту, но и сделал возможным анализ компонентного состава аскорбигенов в различных растениях.

Изучение воздействия разбавленных водных растворов кислот ($\text{pH } 1,0\text{--}3,0$) при 37°C на аскорбиген (Ia), 5'-бром-(Ib), 1'-метил-(Ib) и 1'-бутиласкорбиген (Ig) показало, что реакция проходит по межмолекулярному механизму, включающему в себя освобождение *L*-аскорбиновой кислоты и присоединение элиминирующегося (индол-3-ил) метильного остатка к индольной части другой молекулы аскорбигена (см. схему) с образованием 2'-(индол-3"-ил)метил]аскорбигена (IIa) и его производных (IIIb—g). Кроме того, при превращениях аскорбигенов (Ia) и (Ib) были выделены соединения (IVa) и (IVb), соответственно содержащие три по-

Таблица 1

Выход и физико-химические свойства полученных соединений

Соединение	Входные вещества %	Формула минеральная	$[\alpha]_D^{22}$ (в этианол)	ИК, см^{-1}	УФ (этанол)	КД (этанол)			ВЭЖХ			R_f спирт/вода (система А)
						$(M + H)^+$	$\lambda_{\text{max}}, \text{нм}$	$\varepsilon \cdot 10^{-6}, \text{см}^{-1}$	$\lambda_{\text{max}}, \text{нм}$	$\Delta\varepsilon$	$R_T, \text{мин}$	
IIIa		$\text{C}_{21}\text{H}_{22}\text{N}_2\text{O}_6$	$\pm 4,41 (1,0)^*$ $\pm 6,41 (1,0)$	435	1790 220 280	48,0 15,3	237	+5,0	40 : 60	6,36	0,40	0,35
IIIa	15	$\text{C}_{24}\text{H}_{22}\text{N}_2\text{O}_6$	$+4,4 (1,0)$	435	1790 220 280	43,0 11,6	237	+4,48	40 : 60	5,46	0,35	0,28
IIIb	15	$\text{C}_{24}\text{H}_{20}\text{Br}_2\text{N}_2\text{O}_6$	$+4,4 (0,5)$	593	1787 220 280	39,0 7,5	237	+2,27	50 : 50	5,43	0,56	0,48
IIIb	18	$\text{C}_{26}\text{H}_{26}\text{N}_2\text{O}_6$	$+16,3 (1,0)$	462 (M) ⁺	1790 220 280	26,0 5,5	237	+1,56	45 : 55	7,28	0,50	0,50
IIIf	12	$\text{C}_{32}\text{H}_{38}\text{N}_2\text{O}_6$	$+9,0 (0,4)$	546 (M) ⁺	1790 220 280	36,0 8,3	237	+2,0	60 : 40	9,42	0,40	0,40
IVa	10	$\text{C}_{33}\text{H}_{29}\text{N}_3\text{O}_6$	$+1,9 (1,0)$	564	1790 220 280	70,0 19	237	+6,24	40 : 60	11,42	0,45	0,40
IVb	8	$\text{C}_{33}\text{H}_{28}\text{Br}_3\text{N}_3\text{O}_6$	$+2,2 (0,5)$	799	1789 220 280	96,0 22,0	237	+6,3	50 : 50	11,78	0,70	0,77

* В этианоле.

Таблица 2

Данные спектров ^1H -ЯМР аскорбигенов (δ , м.д., J , Гц)

Соединение	Протоны остатка аскорбиновой кислоты				N-R				Протоны индолильных циклов ^{2*}			
	CH_2' (J_{2e3})	CH_2'' (J_{2e3})	CH_2'' (J_{2e3})	CH_2'' (J_{2e3})	$\text{H}-\text{H}_{\text{a}}$ $\text{H}-\text{H}_{\text{b}}$	$\text{H}-\text{H}_{\text{c}}$ $\text{H}-\text{H}_{\text{d}}$	$\text{H}-\text{H}_{\text{e}}$ $\text{H}-\text{H}_{\text{f}}$	$\text{H}-\text{H}_{\text{g}}$ $\text{H}-\text{H}_{\text{h}}$	$J_{4,5}$	$J_{4,6}$	$J_{4,7}$	$J_{4,8}$
IIIa *	3,75 0,7	4,45 3,3	4,08 9,9	3,97 8,4	5,45 (14,7)	{ 3,19 3,34 (14,7)	7,20 7,47	7,36 7,33	7,11—6,90 6,94	7,62 7,44	1,0 1,0	0,9 (1,0)
IIIa	4,18	4,92	4,04	4,48	4,92 (14,8)	{ 3,34 3,37 (14,8)	7,62 (7,0)	6,91 (6,91)	7,19 (7,04)	7,2 (8,0)	1,0 (1,0)	0,9 (1,0)
IIIb	4,22	4,33	4,05	4,19	4,23 (14,8)	{ 3,40 3,35 (14,9)	(7,76) (7,03)	(6,91) (7,50)	7,24 (7,24)	7,31 (7,14)	1,0 (1,0)	0,9 (1,0)
IIIb *	4,29	4,32	4,04	4,18	4,23 (14,8)	{ 4,73 4,53 (16,6)	7,03—7,30 (6,63)	7,69 (6,63)	7,62 (7,24)	7,62 (7,18)	1,0 (1,0)	0,9 (1,0)
IIIc	0,0	3,8	9,3	5,9	4,03 (14,9)	{ 3,92 3,33 (16,6)	7,67 (6,66)	6,98 (6,97)	7,06 (7,12)	8,22 (7,31)	0,8 (1,1)	0,9 (1,1)
IIIf	4,25 0,0	4,3 3,4	4,04 9,8	4,18 6,1	4,32 (14,8)	{ 4,32 3,44 (14,8)	1,69 1,22 0,86 (0,71)	1,33 1,42 0,71	7,21 (7,7)	7,8 (7,7)	1,2 (1,1)	0,9 (0,9)
IVa	4,13 0,0	4,28 3,4	4,04 9,7	4,18 5,8	4,31 (14,6)	{ 3,40 3,42 (14,6)	7,57 7,33	6,86—6,88 6,86	7,21 6,96 6,99 6,94	8,22 7,9 8,1 7,9	0,8 0,8 1,8 1,0	0,9 0,9 0,5 1,0
IVa *	4,19	4,32	4,05	4,18	4,22 (14,8)	{ 4,22 4,10 4,22 4,24 (14,0)	7,02 7,24 7,70 7,44 6,94	7,44 6,84 7,10 7,19 7,37	7,31 6,96 6,99 7,11 7,18	8,2 8,0 0,5 0,5 0,5	0,9 0,9 0,5 1,9 1,9	0,9 0,9 0,5 1,9 1,9

* Спектры сняты на спектрометре Bruker WNM-360.

** Отдельные сигналы протонов каждого из индолильных циклов, сигналы, соответствующие индолльному колычу, удаленному от остатка аскорбиновой кислоты, приведены в скобках.

† Сигналы протонов перекрываются сигналами растворителя. Сигналы ароматических протонов не отнесены к определенным индолильным циклам.

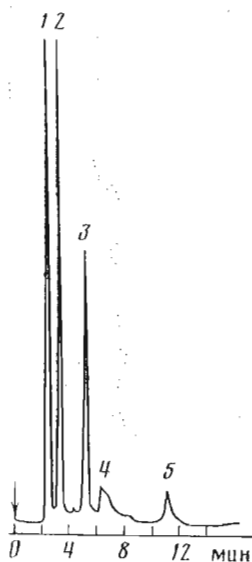


Рис. 1

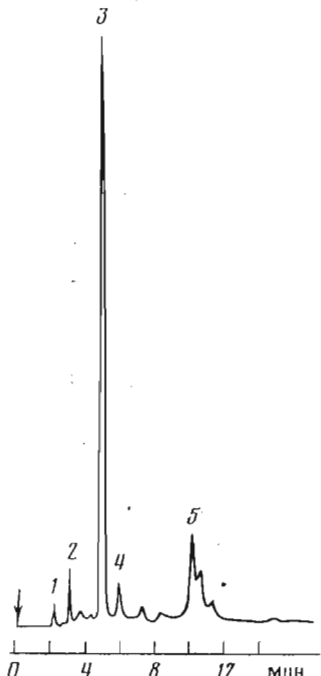


Рис. 2

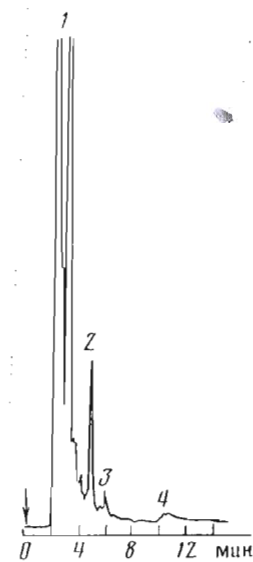


Рис. 3

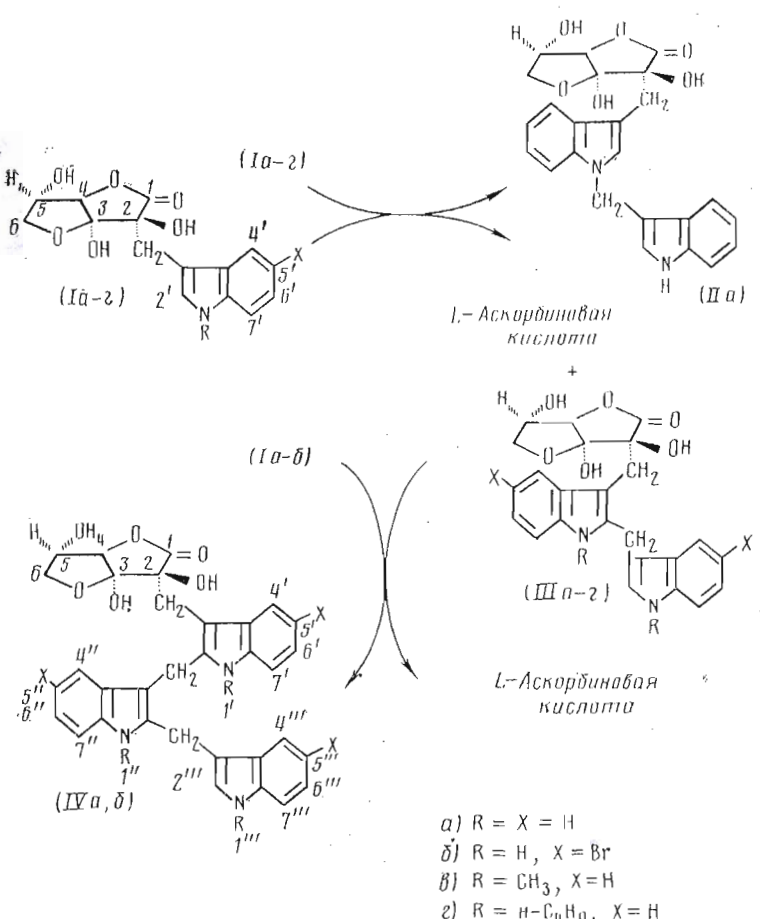
Рис. 1. Хроматограмма кислотного гидролизата аскорбигена А, колонка $4,6 \times 250$ мм, Zorbax ODS, подвижная фаза: 0,1 М ацетат аммония — ацетонитрил (3 : 2), pH 5,7 скорость потока 1 мл/мин. Пики: 1 — аскорбиновая кислота, 2 — (Ia), 3 — (IIIa), 4 — (IIa), 5 — (IVa)

Рис. 2. Хроматограмма аскорбигена В, полученного по методу [2]. Условия хроматографирования и обозначения пиков см. рис. 1

Рис. 3. Хроматограмма этилацетатного экстракта из сока квашеной капусты. Условия хроматографирования и обозначения пиков см. рис. 1. Пики: 1 — (Ia), 2 — (IIIa), 3 — (IIa), 4 — (IVa)

следовательно связанных (индол-3-ил)метильных остатка. Соединения типа (III) и (IV) были выделены из реакционной смеси методом ТСХ. Выходы и константы приведены в табл. 1; с повышением значений pH до 4—7 скорость образования этих соединений и их выходы падают. Трансформация 5'-бромаскорбигена (Iб) проходила только в водно-метанольном растворе (1 : 1) при температуре не ниже 50°C и pH 1,0. При кислотном превращении аскорбигена (Ia) в незначительных количествах также образуется 1'-(индол-3"-ил)метиласкорбиген (IIa), наличие которого в реакционной смеси было показано хроматографическими методами. Образец (IIa) был получен как побочный продукт при синтезе аскорбигена (Ia), причем он образуется в заметных количествах, если в реакцию конденсации с L-аскорбиновой кислотой вводится 3-гидроксиметилиндол, полученный гидроксиметилированием индола действием формалина в присутствии метилата натрия [3]. Метод ВЭЖХ подтвердил, что при действии кислот на аскорбиген (Ia) образуется аскорбиновая кислота и соединения (IIa), (IIIa) и (IVa) (рис. 1).

В табл. 2 приведены данные ^1H -ЯМР-спектров полученных соединений. Химические сдвиги КССВ протонов углеводной части соединений (II)—(IV) соответствуют значениям, характерным для аскорбигенов (Ia—г) [4]. Протоны метиленовой группы CH_2 , соединенной с остатком аскорбиновой кислоты, образуют AB-систему. CH_2 -группы, расположенные между индольными циклами, кроме CH_2 -групп в аскорбигене (IIIb) и одной из удаленных метиленовых групп в соединении (IVb), проявляются в виде уширенного синглета. Для отнесения сигналов протонов индольных циклов в соединении (IIIa) использовались данные спектров корреляции химических сдвигов ^{13}C и ^1H через дальние константы спин-спинового взаимодействия.



ствия. Отнесение протонов индольных циклов в соединениях (IIIб, г) проведено по аналогии с аскорбигеном (IIa). Структурное отнесение сигналов ароматических протонов к определенному индольному циклу в соединениях (IVa, б) неоднозначно.

В ИК-спектрах соединений (II)–(IV) наблюдается полоса при 1790 см^{-1} , соответствующая валентным колебаниям карбонильной группы лактонного кольца. УФ-спектры новых соединений и исходных аскорбигенов имеют максимумы поглощения при одних и тех же длинах волн, отличаясь друг от друга значениями экстинкции.

В масс-спектрах с бомбардировкой ускоренными атомами Хе имеются пики протонированных и непротонированных молекулярных ионов (табл. 1). В производных (IIIб), (IVб) пики бромсодержащих фрагментов имеют характерное изотопное распределение.

Сравнение КД-спектров полученных соединений (IIa), (IIIa–д), (IVa, б) подтвердило их одинаковую *S*-конфигурацию при 2-С-атоме лактонного кольца, хиральность которого главным образом определяет характер этих спектров, имеющих положительный эффект Коттона при 235 нм (сильный) и при 270 нм (слабый), как и исходные аскорбигены (Ia–д) [4]. В соединениях (IIa, б), (IVa, б) наблюдается усиление интенсивности положительных эффектов Коттона при 235 нм с увеличением числа присоединенных индольных остатков. Таким образом, среди исследованных производных нет эпимерных по 2-С-атому лактонного кольца, т. е. с 2-*R*-конфигурацией.

Наше внимание привлек аскорбиген В, который мы получили описанным методом [2]: для его выделения реакционную смесь после конденсации 3-гидроксиметилиндола и *L*-аскорбиновой кислоты при pH 4,5 экстрагировали эфиром. Вещества из полученного раствора разделили на стеклянных пластинках, покрытых силикагелем HF₂₅₄, и охарактеризовали

методами ТСХ, ВЭЖХ и ^1H -ЯМР. Оказалось, что аскорбиген B является смесью соединений (IIIa), (Ia) и (IVa) с преобладанием производного (IIIa) (см. рис. 2) и не является 2-С-эпимером аскорбигена A, как считалось до сих пор [2, 7]. Было показано, что при синтезе аскорбигенов (Ib, d) также образуются соединения такого типа (IIIb, d).

Методом ВЭЖХ установлено, что соединения (Ia), (IIIa), (IVa) наряду с (Ia) представляют собой компоненты экстракта, полученного из сока свежей или квашеной капусты (рис. 3), т. е. овощи и фрукты содержат не только аскорбиген A, но и семейство родственных ему соединений. Эти соединения (Ia, IIa, IIIa, IVa) человек и животные получают с пищей в значительных количествах, поэтому представляет интерес изучение их возможной биологической роли.

Экспериментальная часть

Для ТСХ использовали силуфол UV-254, для препаративной хроматографии — пластиинки (200×200 мм) с толщиной закрепленного слоя силикагеля Merck HF₂₅₄ 0,5 мм. Вещества на хроматограммах обнаруживали в УФ-свете или проявляли нагреванием пластиинки. Использовали системы растворителей: хлороформ — метанол, 7 : 1 (A), 9 : 1 (B). Свойства полученных соединений представлены в табл. 1. Спектры ^1H -ЯМР регистрировали на спектрометре NXR-400 Varian или Brucker WH-360 с использованием тетраметилсилина в качестве внутреннего стандарта. Масс-спектры с бомбардировкой ускоренными атомами Xe получены на масс-спектрометре MS. 50. ТС (Kratos, Англия), ИК-спектры (KBr) снимали на спектрометре SP 1100 (Pye Unicam, Англия). УФ-спектры записывали на приборе UV 5260 (Beckman, Австрия) в кварцевых кюветах толщиной 1 см, КД-спектры снимали на дихрографе Jobin Yvon III (Франция) в кварцевых кюветах толщиной 1 см с использованием тех же растворов, что и для УФ-спектроскопии. Удельное оптическое вращение измеряли на поляриметре Perkin — Elmer 241 (Франция) в кюветах объемом 1 см³ и длиной 10 см. Аналитическую ВЭЖХ осуществляли на хроматографе модели 8800 (Du Pont, США) с УФ-детектором SP-8490 (Spectra Physics, США) при 280 нм на колонках Zorbax ODS (4,6 мм × 25 см) с размером частиц 5 мкм при скорости потока 1 мл/мин, температуре 35° С в системах: ацетонитрил (1) — 0,1 М CH₃COO⁻NH₄⁺ (2) (рН 5,7). Соотношение компонентов подвижной фазы (V_1/V_2) и времена удерживания (RT) для аскорбигенов приведены в табл. 1. Чистота исходных аскорбигенов (Ia—g) контролировалась методом ВЭЖХ.

1'-(Индол-3"-ил)метил]аскорбиген (Ia), 2'-(индол-3"-ил)метил}аскорбиген (IIIa), 2'-(2'-(индол-3"-ил)метил)индол-3"-ил]метил}аскорбиген (IVa). Раствор 0,5 г (1,1 ммоль) аскорбигена (Ia) в 20 мл H₂O подкисляли 1 М HCl до pH 1,0 и нагревали реакционную смесь на водяной бане при 37° С в течение 1 ч до образования белого осадка. Осадок отделяли и растворяли в этилацетате. Надосадочную жидкость экстрагировали также этилацетатом, после чего экстракт и растворенный осадок объединяли, промывали водой, сушили над Na₂SO₄ и растворитель упаривали в вакууме. Остаток растворяли в ацетоне и хроматографировали на стеклянных пластиинках с силикагелем, отбирая три полосы (R_f продуктов реакции здесь и далее приведены в табл. 1), с которых вещества элюировали метанолом. Получали аскорбигены (Ia, IIIa, IVa) в виде бесцветных аморфных порошков.

5'-Бром-2'-(5"-броминдол-3"-ил)метил]аскорбиген (IIIb), 5'-бром-2'-(5"-бром-2"-(5'''-броминдол-3'''-ил)метил)индол-3"-ил]метил}аскорбиген (IVb). Раствор 0,5 г (1,3 ммоль) 5-бромаскорбигена (Ib) в 20 мл смеси MeOH — H₂O (1 : 1) подкисляли 1 М H₂SO₄ до pH 1,0 и нагревали 8 ч при 50° С. Далее метанол упаривали в вакууме и оставшийся водный раствор обрабатывали как описано выше. Получали (IIIb, IVb) в виде аморфных веществ желтоватого цвета.

1'-Метил-2'-(1"-метилиндол-3"-ил)метил]аскорбиген (IIIc). Водный раствор 2,5 г (7,9 ммоль) N-метиласкорбигена (Ib) подкисляли 1 М HCl

до рН 1,0 и нагревали 12 ч при 37° С. Образовался осадок ярко-красного цвета. Далее конечный продукт выделяли как описано в предыдущих методиках и получали аморфный бесцветный порошок.

1'-Бутил-2'-(1"-бутилиндол-3"-ил)метиласкорбиген (III ε). Раствор 0,5 г (1,3 ммоль) N-бутиласкорбигена (I ε) в 10 мл смеси метанол — вода (1 : 1) подкисляли 1 М HCl до рН 1,0 и нагревали 12 ч при 37° С, после чего выделяли конечный продукт (III ε) описанным выше способом в виде аморфного порошка серого цвета.

СПИСОК ЛИТЕРАТУРЫ

1. Gmelin R., Virtanen A. J. // Ann. Acad. Sci. Fennicae. Ser. A. II. Chemica. 1961. № 107. P. 1—25.
2. Kiss G., Neukom H. // Helv. chim. acta. 1966. V. 49. № 2. P. 989—992.
3. Preobrazhenskaya M. N., Korolev A. M., Plikhtyak I. L., Yartseva I. V., Efimov S. A., Lazhko E. I., Aleksandrova L. G. // Heterocycles in Bio-Organic Chemistry / Eds H. C. van der Plas, J. Bergman, M. Simonyi. RCS, 1991. P. 68—86.
4. Муханов В. И., Ярцева И. В., Кикоть Б. С., Володин В. В., Кустова И. Л., Лесная Н. А., Софьина З. П., Ермакова Н. П., Преображенская М. Н. // Биоорган. химия. 1984. Т. 10. № 4. С. 544—559.
5. Букин Ю. В., Плихтык И. Л., Драудин-Крыленко В. А., Ярцева И. В., Орловая Л. М., Преображенская М. Н. // Биоорган. химия. 1987. Т. 13. № 4. С. 539—545.
6. Плихтык И. Л., Ярцева И. В., Клюев Н. А., Преображенская М. Н. // Химия гетероциклических соединений. 1984. № 5. С. 607—610.
7. The Merck Index / 11th Edition. Merck & Co. Inc. Rahway. N. Y. 1989. № 856. P. 131.

Поступила в редакцию
31.VIII.1990

После доработки
15.1.1991

A. M. KOROLEV, E. I. LAZHKO, I. V. YARTSEVA *, I. L. PLIKHTYAK *,
L. G. ALEKSANDROVA, B. V. ROSYNOV **, M. N. PREOBRAZHENSKAYA

THE TRANSFORMATION OF ASCORBIGENS IN ACIDIC MEDIA: STRUCTURE OF ASCORBIGEN B

Institute of New Antibiotics, Academy of Medical Sciences of the USSR, Moscow;
*All-Union Cancer Research Centre, Academy of Medical Sciences of the USSR, Moscow;
**M. M. Shemyakin Institute of Bioorganic Chemistry, Academy of Sciences of the USSR,
Moscow

The transformation of ascorbigens upon heating at pH < 7 proceeds by an intermolecular mechanism involving release of *L*-ascorbic acid and addition of an (indol-3-yl)methyl moiety to another molecule of ascorbigen (Ia) to yield 1'-(indol-3'-yl)methyl ascorbigen (IIa), 2'-(indol-3''-yl)methyl ascorbigen (IIIa) and 2'-(2''-(indol-3'''-yl)methyl)indol-3''-yl]methyl ascorbigen (IVa). Similar transformations were performed for 5'-bromascorbigen. 1'-Methyl-2'-(1''-methylindol-3''-yl)methyl]ascorbigen and 1'-butyl-2'-(1''-butylindol-3''-yl)methyl]ascorbigen were obtained from 1'-methylascorbigen and 1'-butylascorbigen; ascorbigen B is indentified as a mixture of (IIa), (IIIa) and (IVa), 2'-(indol-3''-yl)methyl]ascorbigen (IIIa) being predominant.